

尾叶香茶菜不同部位挥发性成分比较分析

杨翠^{1*},赵锦花²,王强¹,杨卫雪¹,李光开¹,扈雅宁¹¹长春师范大学化学学院,长春 130032; ²长白山生物资源与功能分子教育部重点实验室,延吉 133002

摘要:本文采用气流吹扫微萃取法对尾叶香茶菜根、茎、叶挥发性成分进行分析比较。采用 GC-MS 对挥发性成分进行分离检测,与标准谱库对比进行定性,采用面积归一化法计算各化合物的相对含量。尾叶香茶菜共检测到 149 个峰,与标准谱库比对,根、茎、叶分别鉴定出 80、85、79 种挥发性成分,占各部位挥发油总量的 93.66%、88.05% 和 72.62%。采用化学方法结合主成分分析法对尾叶香茶菜根、茎、叶的挥发性成分进行分析,结果显示根、茎、叶的挥发性成分在组成和含量上均存在一定差异,本研究为尾叶香茶菜的进一步开发利用提供参考依据。

关键词:尾叶香茶菜;挥发性成分;不同部位;气流吹扫微萃取法;主成分分析

中图分类号:R284.1;R93

文献标识码:A

DOI:10.16333/j.1001-6880.2018.12.013

Comparative Analysis of the Volatile Components from Different Parts of *Rabdosia excise*

YANG Cui^{1*}, ZHAO Jin-hua², WANG Qiang¹, YANG Wei-xue¹, LI Guang-kai¹, HU Ya-ning¹

¹College of Chemistry, Changchun Normal University, Changchun, 130032, China; ²Key Laboratory of Natural Resources of the Changbai Mountain and Functional Molecular (Yanbian University), Ministry of Education, Yanji, 133002, China.

Abstract: In this study the volatile compositions in root, stem and leaf of *Rabdosia excise* (Maxim.) Hera were determined by gas purge micro-extraction techniques. The contents were analyzed by gas chromatography-mass spectrum (GC-MS). The qualitative of volatile components was completed by comparison with the standard spectrum library, and the relative content of each compound was calculated using the area normalization. The 149 peaks were detected in *Rabdosia excise*, comparison with the standard spectrum library, 80, 85 and 79 components were identified in root, stem and leaf, which accounted for 93.66%, 88.05% and 72.62% of the total peaks in each part. The volatile components of root, stem and leaf for *Rabdosia excise* were compared by chemical method and principal component analysis. The results showed that the chemical compositions and relative contents were different to some extent for the volatile components in root, stem and leaf. This study provides reference basis for development and utilization of *Rabdosia excise*.

Key words: *Rabdosia excisa*; volatile components; different parts; gas purge microextraction method (GP-ME); principal component analysis (PCA)

尾叶香茶菜 *Rabdosia excisa* (Maxim.) Hera 为唇形科香茶菜属植物,属于多年生草本植物,广泛分布黑龙江、吉林及辽宁等省区^[1,2]。主要生长于草丛、林中、林缘等阴生地。尾叶香茶菜全草入药,性味苦凉,具有清热解毒、健脾、活血等功效^[3]。在民间,尾叶香茶菜被用于治疗风湿感冒、喉咙肿痛、关节疼痛、蛇虫咬伤等^[4]。

目前,关于尾叶香茶菜的研究重点聚焦于水或

醇提取物化学成分分离及药理活性研究,且多为全草^[5]。在中草药开发中,尾叶香茶菜作为药用植物的一员,在抗癌、抗肿瘤等研究中的价值越来越受到科研人员的关注。目前关于尾叶香茶菜挥发性成分的研究报道很少,且重点聚焦于尾叶香茶菜挥发性成分的定性分析^[6-8],及活性探究,并发现了挥发性成分具有降低血液中胆固醇浓度^[7]、抑菌、抗氧化活性^[8]等作用。关于尾叶香茶菜不同部位挥发性成分比较的相关研究未见报道,且尾叶香茶菜中已定性挥发性成分非常有限。为此,本研究采用气流吹扫微萃取方法与 GC-MS 联用对尾叶香茶菜挥发性成分开展系统性研究,利用化学方法和统计学方

收稿日期:2018-04-26 接受日期:2018-09-27

基金项目:长白山生物资源与功能分子教育部重点实验室(延边大学)开放基金(2016-04)

* 通信作者 Tel:86-431-86168210; E-mail: yangcui0322@126.com

法(主成分分析)比较其不同部位(根、茎、叶)挥发性成分的差异,为尾叶香茶菜的进一步开发提供参考依据。

1 仪器与材料

1.1 仪器与试剂

气相色谱-质谱联用仪(岛津,日本,GC-MS plus 2010),100 μL 衬管(安捷伦,美国),AS20500AH 型超声波清洗器(天津 AU-TOSCIENCE 公司),FW-100 高速万能粉碎机(天津泰斯特),进样垫(岛津,日本),聚四氟乙烯管等。色谱纯正己烷(Fisher,美国)。

1.2 材料

尾叶香茶菜于 2016 年 8 月采自吉林省长白山,将根、茎、叶分别剪切、洗净后置于阴凉通风处在自然条件下阴干。干燥的尾叶香茶菜用粉碎机粉碎,过 200 目筛,置于棕色样品瓶中,-20 $^{\circ}\text{C}$ 贮存备用。

2 实验方法

2.1 挥发性成分的萃取

依据先前报道^[9-11],操作步骤如下:①准确称取

粉碎的尾叶香茶菜植物样品 5.0 mg,放入样品槽中,并安装仪器;②取 50 μL 正己烷置于 100 μL 衬管(接收器)中;③打开开关开始萃取;④萃取后,利用正己烷定容至 100 μL ,随后取 2 μL 进样分析。气流吹扫微萃取条件:氮气流速为 2 mL/min,萃取温度为 250 $^{\circ}\text{C}$,萃取时间为 2 min,冷凝温度为 -4 $^{\circ}\text{C}$ 。

2.2 挥发性成分的 GC-MS 分析

DB-5 MS 毛细石英柱(30 m \times 0.25 mm \times 0.25 μm),载气 He(纯度 $\geq 99.99\%$),进样口温度 280 $^{\circ}\text{C}$,进样量 2 μL ,分流比 50:1,载气流速为 0.98 mL/min,升温程序:45 $^{\circ}\text{C}$ 保持 1 min,4 $^{\circ}\text{C}/\text{min}$ 升至 250 $^{\circ}\text{C}$,6 $^{\circ}\text{C}/\text{min}$ 升至 280 $^{\circ}\text{C}$,保持 5 min。离子源 EI,离子源温度 200 $^{\circ}\text{C}$,电子能量 70 eV。

利用岛津化学工作站中 NIST 10 标准质谱图库进行检索,并结合相关文献图谱解析对挥发性成分进行定性分析。同时,应用手动积分方法对信噪比大于 10 的所有色谱峰进行积分,并按面积归一化法计算出各化学成分的相对含量,具体见附表 1。

表 1 尾叶香茶菜不同部位挥发性成分比较

Table 1 Comparative of the volatile components from different parts of *Rabdosia excise*

序号 No.	时间 Time	化合物名称 Compound	不同部位含量 Content (%)		
			根 Root	茎 Stem	叶 Leaf
1	5.349	3-Hexanone	0.50	0.33	0.27
2	5.434	Unknown-1	2.44	1.68	0.81
3	5.699	3-Hexanol	0.56	0.35	0.17
4	5.806	3-Methyl-1-pentanol	0.48	0.16	0.07
5	5.966	(Z)-2-Octene	-	0.57	0.54
6	6.383	Unknown-2	-	0.30	-
7	6.475	2-Methylpyrazine	-	0.29	0.31
8	6.737	Furaldehyde	12.58	5.73	1.94
9	7.433	. alpha. -Furfuryl alcohol	3.54	6.20	1.91
10	7.535	(3E)-3-Hexen-1-ol	-	-	0.28
11	7.942	1-Methoxy-2-propyl acetate	0.86	1.42	0.75
12	8.036	o-Xylene	-	-	2.28
13	8.384	2-Cyclopentene-1,4-dione	1.41	1.10	0.57
14	8.668	Pivalic acid vinyl ester	0.13	0.07	0.01
15	8.804	Cinnamene	0.11	0.22	0.14
16	8.958	4-Hydroxy-3-hexanone	-	0.20	-
17	9.228	Unknown-3	0.35	0.86	0.18

续表 1 (Continued Tab. 1)

序号 No.	时间 Time	化合物名称 Compound	不同部位含量 Content (%)		
			根 Root	茎 Stem	叶 Leaf
18	9.338	2-Oxo-2,5-dihydrofuran(2-[5H]-furanone)	1.1	1.32	0.42
19	9.433	Unknown-4	0.66	1.13	0.59
20	9.557	2,5-Dimethylpyrazine	0.20	0.07	0.07
21	9.671	Unknown-5	0.32	0.37	0.28
22	9.91	1,2-Cyclopentanedione	0.71	3.49	0.67
23	10.206	Unknown-6	0.05	0.10	-
24	10.281	Unknown-7	0.07	0.10	0.06
25	10.388	5-Methyl-2(5H)-Furanone	0.11	0.22	0.15
26	10.886	3-Hydroxy-4,4-dimethyldihydro-2(3H)-furanone	0.26	0.11	0.1
27	11.099	5-Methyl-2-Furanmethanol	0.25	0.18	0.08
28	11.22	2,3-Dimethyl-2-cyclopenten-1-one	0.11	0.21	0.06
29	11.438	5-Methyl-2-furaldehyde	3.75	0.60	0.3
30	11.507	Benzaldehyde	0.53	0.42	0.34
31	11.625	Propanoic acid, 1-methylpropyl ester	-	0.41	0.11
32	11.742	(3E)-3-Methyl-3-hepten-2-one	-	0.12	0.11
33	11.85	2-Methyl-2-butenolide	-	0.23	0.12
34	11.876	5-Hydroxymethyldihydrofuran-2-one	0.16	-	-
35	12.132	Phenol	0.31	1.38	1.67
36	12.279	.alpha.-Methylstyrene	0.15	-	-
37	12.292	1-Octen-3-ol	-	5.75	3.13
38	12.566	2H-Pyran-2,6(5H)-dione	0.15	0.45	0.17
39	12.664	2-n-Pentylfuran	0.06	-	-
40	12.759	Acetic acid furfurylester	0.06	0.50	-
41	12.9	Unknown-8	-	0.62	-
42	12.954	2,2-Diethyl-3-methyl-1,3-oxazolidine	3.79	-	-
43	13.398	2-Formylpyrrole	1.1	0.47	0.44
44	13.5	(E,E)-2,4-Heptadienal	-	0.17	0.2
45	13.542	Unknown-9	-	0.07	-
46	13.725	Unknown-10	-	0.16	0.26
47	13.829	3-Methyl-1,2-cyclopentanedione	0.24	1.49	0.8
48	14.175	Unknown-11	0.2	0.28	0.14
49	14.342	Benzenemethanol	-	0.42	0.54
50	14.716	2-Methoxy-5-methylthiophene	1.13	-	-
51	14.75	Benzeneacetaldehyde	-	0.17	0.24
52	14.975	Unknown-12	-	0.21	-
53	15.05	Unknown-13	-	0.76	-
54	15.09	4-Hydroxy-2,5-dimethyl-3(2H) furanone	0.44	-	-
55	15.429	2-Acetylpyrrole	0.53	0.35	0.16

续表 1 (Continued Tab. 1)

序号 No.	时间 Time	化合物名称 Compound	不同部位含量 Content (%)		
			根 Root	茎 Stem	叶 Leaf
56	15.588	Hypnone	0.56	0.36	0.19
57	15.692	3-Methyl-2,5-Furandione	4.45	-	-
58	15.783	2-(4-Methylcyclohexyl) ethanol	-	0.17	0.06
59	15.9	3-Methylcyclohexanone	-	0.33	0.25
60	16.006	2,5-Furandicarboxaldehyde	0.30	-	-
61	16.105	2-Furyl hydroxymethyl ketone	0.37	0.62	0.17
62	16.342	2-Methoxy-Phenol	2.01	3.25	0.97
63	16.52	3-Ethyl-2-hydroxy-2-cyclopenten-1-one	0.22	2.14	0.89
64	16.776	2-Methyl-1,3-cyclohexanedione	0.23	-	0.11
65	16.833	3-Ethenyl-3-methylcyclopentanone	-	2.84	0.46
66	17.017	Linalool	-	1.19	0.43
67	17.051	2,6-Pyridinediol	0.23	-	-
68	17.202	Maltol	1.27	0.73	0.52
69	17.333	4,5-Dimethyl-2-cyclohexen-1-one	-	0.18	-
70	17.417	Benzeneethanol	-	0.55	0.91
71	17.779	N-methyl-2-formylpyrrole	0.13	-	-
72	17.882	Pentanoic acid, pentyl ester	-	-	0.32
73	17.892	Unknown-14	-	0.31	-
74	18.196	Unknown-15	0.19	-	-
75	18.274	4-Vinylcyclohexanone	-	0.34	0.18
76	18.767	1,3-Dimethyltetrahydro-2(1H)-pyrimidinone	-	0.44	0.54
77	18.917	Unknown-16	-	0.22	-
78	20.125	Unknown-17	-	0.64	0.3
79	20.333	1,2-Benzenediol	0.67	2.51	1.3
80	21.35	Dihydrobenzofuran	-	0.52	1.6
81	21.574	5-Hydroxymethylfurfural	1.85	0.39	-
82	21.705	Unknown-18	0.07	0.16	-
83	22.534	Picolinamide	0.11	-	-
84	22.666	2-Hydroxy-4-methylphenol	0.12	1.10	0.22
85	23.346	2,6-Dihydroxyacetophenone	0.30	1.31	0.47
86	23.853	1,7,7-Trimethylbicyclo[2.2.1]hept-2-yl acetate	0.27	-	-
87	24.042	Indole	-	-	0.48
88	24.678	4-Hydroxy-2-methylacetophenone	3.52	3.43	3.31
89	25.895	2,6-Dimethoxy phenol	1.13	5.78	2.28
90	26.112	3-Allyl-2-methoxyphenol	0.55	0.24	0.63
91	26.242	Unknown-19	-	-	0.33
92	26.9	4-Ethyl-1,2-benzenediol	-	1.24	1.37
93	27.512	4-hydroxy-3-methoxy-Benzaldehyde	3.45	2.41	0.31

续表 1 (Continued Tab. 1)

序号 No.	时间 Time	化合物名称 Compound	不同部位含量 Content (%)		
			根 Root	茎 Stem	叶 Leaf
94	28.767	Unknown-20	-	-	0.90
95	29.231	cis-Isoeugenol	3.74	1.15	0.20
96	29.583	Unknown-21	-	-	0.17
97	29.733	Unknown-22	-	-	0.19
98	30.124	6-Methoxy-3-methylbenzofuran	1.01	-	-
99	30.25	(3E)-4-(2,6,6-Trimethyl-1-cyclohexen-1-yl)-3-buten-2-one	-	-	0.57
100	30.278	1-(4-hydroxy-3-methoxyphenyl)-ethanone	0.76	0.47	0.12
101	30.358	Unknown-23	-	-	0.29
102	31.258	4a-Methyl-4,4a,5,6,7,8-hexahydro-2(3H)-naphthalenone	-	-	0.07
103		Unknown-24	-	-	0.1
104	31.565	Guaiacylacetone	0.65	1.74	0.44
105	31.758	4,5,7,7a-Tetrahydro-4,4,7a-trimethyl-2(6H) benzofuranone	-	-	0.39
106	32.669	3,5-Dimethoxyacetophenone	0.92	1.66	0.14
107	32.925	Unknown-25	-	-	0.29
108	33.256	Di(sec-butyl) 2-methylsuccinate	0.54	0.43	0.14
109	33.334	2-Amino-1-(3-hydroxy-4-methoxyphenyl) ethanone	0.66	0.11	-
110	33.526	Diethyl Phthalate	0.35	0.31	0.32
111	33.731	Unknown-26	0.29	0.28	0.13
112	33.882	Unknown-27	0.23	-	-
113	33.971	2,6,10,15-Tetramethylheptadecane	0.21	0.26	0.13
114	34.561	2,4a,5,8a-Tetramethyl-1,2,3,4,4a,7,8,8a-octahydro-1-naphthalenyl acetate	3.12	-	0.26
115	35.05	Unknown-28	-	-	0.09
116	35.377	Syringaldehyde	1.04	0.58	-
117	35.558	Unknown-29	-	-	0.18
118	35.8	Unknown-30	-	-	0.25
119	35.942	Unknown-31	-	-	0.22
120	36.308	Unknown-32	-	-	0.25
121	36.648	2,6-Dimethoxy-4-allylphenol	1.68	1.44	0.17
122	37.533	3-(4-Hydroxy-3-methoxyphenyl)-2-Propenal	12.61	3.34	0.25
123	37.622	4-((1E)-3-Hydroxy-1-propenyl)-2-methoxy-phenol	0.61	1.11	-
124	37.993	Unknown-33	0.31	-	-
125	38.339	Unknown-34	0.15	0.24	0.04
126	38.525	Unknown-35	-	0.21	0.28
127	40.447	(2E)-3,7,11,15-Tetramethyl-2-hexadecen-1-ol	2.75	2.81	17.81
128	40.592	Unknown-36	-	0.34	0.93
129	40.982	Diisobutyl phthalate	0.76	0.52	0.41
130	41.083	Unknown-37	-	0.43	3.18
131	41.541	Unknown-38	1.01	1.00	6.94

续表 1 (Continued Tab. 1)

序号 No.	时间 Time	化合物名称 Compound	不同部位含量 Content (%)		
			根 Root	茎 Stem	叶 Leaf
132	43.217	Unknown-39	-	-	0.26
133	43.361	Dibutyl phthalate	0.65	0.48	0.21
134	43.6	Palmitic acid	-	0.25	0.77
135	43.824	3,5-Dimethoxy-4-hydroxycinnamaldehyde	1.68	1.04	-
136	46.525	Nonadecanol	-	-	0.96
137	46.825	Methyl linolenate	-	-	0.81
138	47.065	Phytol	1.16	1.69	7.03
139	47.8	Unknown-40	-	-	7.36
140	48.367	Unknown-41	-	-	0.68
141	51.067	Behenic alcohol	-	-	0.35
142	51.6	Unknown-42	-	0.58	0.7
143	52.45	Unknown-43	-	-	0.41
144	54.533	Unknown-44	-	-	0.24
145	55.508	Unknown-45	-	0.49	-
146	57.85	Unknown-46	-	0.41	-
147	58.825	Unknown-47	-	-	0.35
148	60.437	Spinacene	1.11	0.54	2.4
149	61.83	n-Hexatriacontane	0.6	0.88	1.58

注: - 未检出。

Note: - not detected.

2.3 统计分析

统计分析采用主成分分析(PCA)方法,利用SPSS Statistics 统计软件完成。

3 结果与讨论

3.1 尾叶香茶菜中挥发性和半挥发性成分分析

尾叶香茶菜中共检测出 149 个色谱峰,根、茎、

叶分别检测到 86、97、106 个。与标准谱库比对,已定性成分各占总成分的 93.66%、88.05%、72.62%,尾叶香茶菜中共有 102 个峰被定性。各部位挥发性成分的 GC-MS 分析的总离子流程图结果见图 1。采用数据处理中的手动积分法对每个峰进行积分处理,以峰面积归一化法测得其中各组分相对百分含量。具体信息见附表 1。

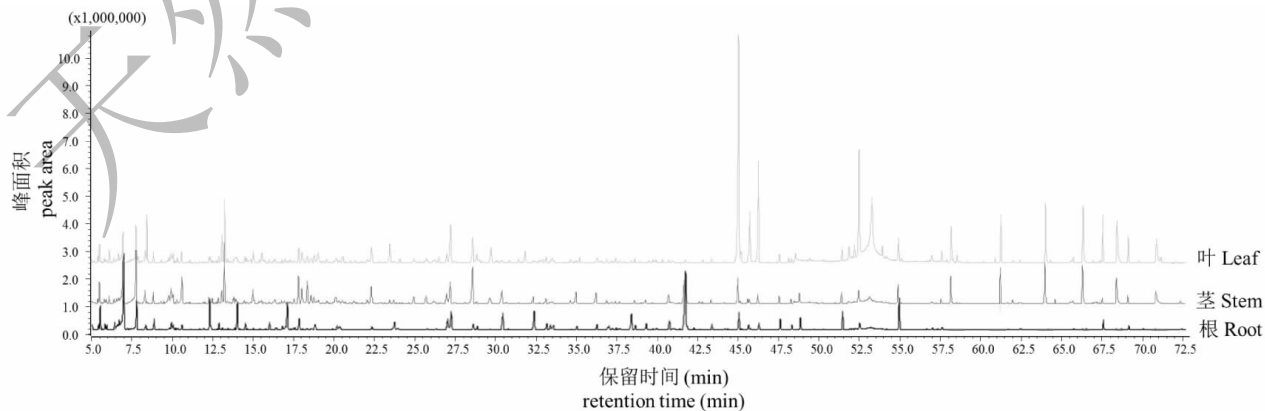


图 1 尾叶香茶菜不同部位挥发性成分总离子流程图

Fig. 1 Total ion current chromatogram of volatile components in different parts of *Rabdosia excise* (Maxim.) Hera

文献报道,尾叶香茶菜挥发性成分提取方法有 CO_2 超临界萃取法^[6,8]、水蒸气蒸馏法^[7],两种方法定性挥发性成分分别为15和34种,本文采用气流吹扫微萃取法定性挥发性成分102种。从样品消耗量方面考虑以往方法一般需200 g左右^[8],气流吹扫微萃取法仅需5.0 mg。另外,以往方法至少需要60 min萃取时间^[8],而气流吹扫微萃取法仅需2 min。综合上所述,中草药挥发性成分定性分析推荐采用气流吹扫微萃取法。

3.2 不同部位化学组成比较研究

从色谱的总离子流图可知,尾叶香茶菜的各部分均检测到多种挥发性成分,但从总离子流图中很难直观区分三者的差异。另外,即使经检索、解析和文献比对,确认每种成分,但仍难以从成分和含量信息中直观区分三者。为此,本文分别采用化学和统计学方法进行比较分析。

3.2.1 按不同官能团比较分析

解析已定性成分的结构,发现所有挥发性成分都是C4~C36的化合物,涉及化合物类型包含醇类、酮类、醛类、酯类、酚类、酸类等。为此,将所有成分依据化合物所含官能团共分12类。从图2可知,根中含量最多的成分是醛类(37.5%),其次是酮类(12.9%)、其他含N-、O-类(12.4%)及酚类(10.8%);叶中最多成分为醇类(33.9%),其次是酮类(10.5%)和酚类(8.81%);茎中酮类(23.3%)、醇类(19.7%)、酚类(19.2%)三类组分相差不多,其次是醛类(14.9%)。分析结果显示尾叶香茶菜根、茎、叶中挥发性物质的组成类型有明显差异。

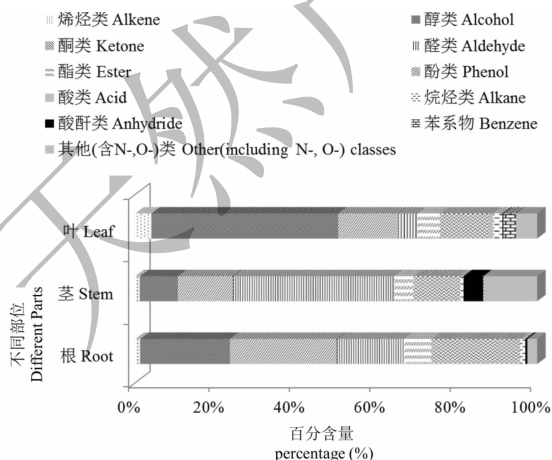


图2 尾叶香茶菜不同部位化学成分官能团分类比较
Fig.2 Comparison of functional groups of chemical components in different parts of *Rabdosia excise* (Maxim.) Hera

3.2.2 主成分(PCA)分析

为了更直观的辨别尾叶香茶菜不同部位之间是否存在实质性差异,本文采用PCA统计方法进行比较,分别以58个共用成分及全部成分的官能团分类数据作为变量,具体结果见图3和图4。在图3中第一个主成分(X-axis:PC1)占57.6%,第二个主成分(Y-axis:PC2)占29.8%。在图4中第一个主成分(X-axis:PC1)占64.0%,第二个主成分(Y-axis:PC2)占29.6%。在两种作图方式中,所选择的两个主成分之和占总变量的比例均大于85%。两种变量的统计分析结果均清晰显示尾叶香茶菜的三个部位挥发性成分有明显差异。通过分析可知每一部位的主要贡献成分,根中主要贡献成分是醛类、酮类、其他含N-、O-类及酚类;茎中主要贡献成分是酮类、醇类和酚类;叶中主要贡献成分则是醇类、酮类和酚类。该结果显示,利用统计学方法可以将复杂的药用植物挥发性成分数据简单化,可直观显示部位之间的异同,这说明统计学方法有望应用于香茶菜属植物种类之间的鉴别,下一步将开展相关研究,希望能够为药用植物间的鉴别提供一种科学、直观的方法。

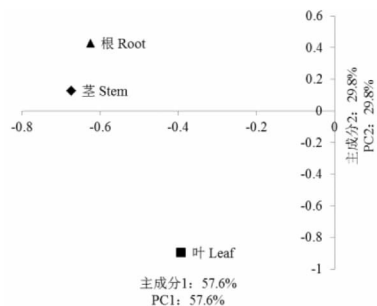


图3 共有成分主成分分析图
Fig.3 PCA diagram of common component

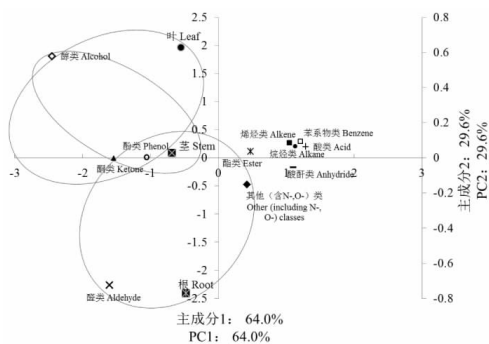


图4 全部成分的官能团分类主成分分析图
Fig.4 PCA diagram of functional group classification of all components

4 结论

本文研究结果显示采用气流吹扫微萃取技术可从尾叶香茶菜中萃取到更多的挥发性成分,而更多的成分信息可为后续尾叶香茶菜的深入研究提供基础。研究结果说明统计方法可应用于植物挥发性成分的比较中,并将其结果与化学方法相结合,能够更加直观准确的说明尾叶香茶菜不同部位中挥发性成分存在差异及各部位主要贡献成分。本文对尾叶香茶菜不同部位挥发性成分的比较研究将为尾叶香茶菜的进一步开发利用提供基础数据支撑。

参考文献

- Chen LJ(陈林姣), Li ZH(李植华), Lai XP(赖小平). Geographical distributions of *Isodon* in the word and prospect in medicine[J]. *Chin Med Mat*(中药材), 1996, 19:169-172.
- Chinese Academy of Sciencer Chinese Flora Writers(中国科学院中国植物志编委会). *Flora of China*(中国植物志) [M]. Beijing:Sciene Press, 1977:428.
- Na W(那微), Bao JC(鲍建材), Liu G(刘刚), et al. Research status and prospect of medicinal herb of *Rabdosia excise*(Maxim.) Hera [J]. *Ginseng Res*(人参研究), 2006, 18:13-17.
- Yunnan Institute of plant research Writers(云南植物研究所编著). *Flora of Yunnan*(云南植物志) [M], Beijing:Sciene Press, 1977:758.
- Tang J(汤建), Ma RL(马瑞丽), Liu HC(刘洪川), et al. Chemical constituents from the water-soluble fraction of *Rabdosia excise*[J]. *Nat Prod Res Dev*(天然产物研究与开发), 2014, 26, 215-217.
- Nan ML(南敏伦), Zhao XJ(赵雪娇), Zhang L(张玲), et al. Study on chemical constituents of essential oil from *Rabdosia excise*[J]. *Guide China Med*(中国医药指南), 2010, 8, 5-6.
- Na W(那微), Wu TZ(武铁志), Zheng YL(郑友兰). A analysis of volatile oil from *Isodon excia* by GC-MS[J]. *J Jilin Agri Univ*(吉林农业大学学报), 2005, 27, 413-415.
- Wang X(王霞), Xu JX(许菊香), Yu XM(于晓明), et al. Extraction and antibacterial and antioxidative properties of volatile oil from *Isodon excia*[J]. *J Fujian Agri Sci*(福建农业学报), 2016, 31, 747-751.
- Yang C, Piao X, Qiu J, et al. Gas purge microsyringe extraction for quantitative direct gas chromatographic-mass spectrometric analysis of volatile and semivolatile chemicals[J]. *J Chromatogra A*, 2011, 1218:1549-1555.
- He M, Yang C, Geng R, et al. Monitoring of phthalates in foodstuffs using gas purge microsyringe extraction coupled with GC-MS[J]. *Analytica Chimica Acta*, 2015, 879:63-68.
- Nan J, Wang J, Piao X, et al. Novel and rapid method for determination of organophosphorus pesticide residues in edible fungus using direct gas purge microsyringe extraction coupled on-line with gas chromatography-mass spectrometry[J]. *Talanta*, 2015, 142, 64-71.
- (上接第 2145 页)
- Yang YC(杨延超), Xu DP(徐德平). Hypoglycemic effect and structural determination of polysaccharides from barley malt[J]. *J Food Sci Biotech*(食品与生物技术学报), 2012, 10:1087-1092.
- Zhou W(周威), Zhang EJ(张恩景), Gao TX(高铁祥). Study on the treatment of experimental hyperprolactinemia by the extract of malt[J]. *Hubei J Tradit Chin Med*(湖北中医杂志), 2008, 10:10-11.
- Shen LH(沈留红), Xiao JB(肖劲邦), Wu XF(巫晓峰), et al. Effect of hui ru-kang prescription on PRL, GH and STAT5 levels in dairy cows' serum during milk withdrawal period [J]. *Nat Prod Res Dev*(天然产物研究与开发), 2017, 29: 1766-1772.
- Wang X(王雄), Chen YG(陈永刚), Liu XG(刘新国), et al. Effects and mechanism of huiruyizeng I on hyperplasia of mammary glands in rats [J]. *Chin J Exp Tradit Med Form*(中国实验方剂学杂志), 2013, 13:274-279.
- Wang X(王雄), Wu JH(吴金虎). Pharmacodynamics study on menehanism of NO. 1 huiruyizeng on hyperprolactinemia and mazoplasia in rats[D]. Wuhan:Hubei University of Chinese Medicine(湖北中医药大学), 2012.
- Li TB(李添宝), Wu Y(吴越), Luo J(罗敬). Quantitative analysis of fatty acids and water in vegetable oils by nuclear magnetic resonance[J]. *J Food Sci*(食品科学), 2014, 16: 212-216.
- Yuan J(袁瑾), Hu WY(胡旺云). Studies on ^{13}C NMR and ^1H NMR spectra of glycerin-ester of 3'-long straight-chain saturated carboxylic acid[J]. *Chinese J Magn Reson*(波谱学杂志), 1993, 2:185-188.
- Niu XH(牛心蕙). Structure and properties studies on the novel cyclohexadiene and hexasubstituted benzene derivatives [D]. Tianjin:Tianjin University(天津大学), 2013.